

# КРОССОВЕР МЕЖДУ ТЕРМОДИНАМИЧЕСКИМ И НЕРАВНОВЕСНЫМ СЦЕНАРИЯМИ СТРУКТУРНЫХ ПРЕВРАЩЕНИЙ ПРИ СЖАТИИ ЛЬДА $I_h$ $H_2O$

*A. Г. Ляпин\*, О. В. Стальгорова, Е. Л. Громницкая, В. В. Бражкин*

*Институт физики высоких давлений Российской академии наук  
142190, Троицк, Московская обл., Россия*

Поступила в редакцию 19 июня 2001 г.

Проведено детальное исследование различных сценариев структурных превращений льда  $I_h$   $H_2O$  при сжатии до давлений 2 ГПа в интервале температур от 77 до 200 К. В рассматриваемой области давлений и температур получены подробные данные для плотности и модуля сдвига различных фаз льда, включая фазы  $hda$ ,  $IX$  и  $XII$ . Из экспериментальных зависимостей плотности и скоростей ультразвука, с учетом известных данных структурных исследований, идентифицированы следующие последовательности превращений  $I_h \rightarrow hda$  (ниже 135 К),  $I_h \rightarrow II \rightarrow VI$  (выше 165 К) и  $I_h \rightarrow IX \rightarrow VI$  (от 155 до 180 К). Вблизи температуры кристаллизации аморфного льда, т. е. около 140 К, наблюдалась аномальная картина превращений, которая была интерпретирована как преимущественно фазовый переход  $I_h \rightarrow XII$ . В работе обсуждается температурный кроссовер между режимом твердофазной аморфизации ( $I_h \rightarrow hda$ ) и переходами кристалл–кристалл, а также метастабильная природа льда  $IX$  и механизм твердофазной аморфизации.

PACS: 62.20.Dc, 62.50.+p, 64.70.Kb

## 1. ВВЕДЕНИЕ

Исследование свойств воды и льда при высоких давлениях имеет огромное значение для астрофизики, геофизики планет и их спутников [1–5], а также криобиологии [6]. Лед  $H_2O$  имеет одну из наиболее сложных фазовых диаграмм: при различных давлениях  $P$  и температурах  $T$  наблюдается не менее 16 различных кристаллических и аморфных модификаций [7–13]. Многие из этих фаз льда присутствуют, по-видимому, в значительном количестве в таких спутниках планет-гигантов, как Европа, Калисто и Ганимед, а также в ядрах комет и в межзвездной пыли [1–5].

Как и для других веществ, фазовая диаграмма льда может быть условно разделена на высокотемпературную часть, где фазовые переходы происходят вблизи линий термодинамического равновесия соответствующих фаз, и низкотемпературную часть, в которой могут наблюдаться необычные структурные превращения, такие как твердофазная амор-

физация льда [12–16]. Если ограничиться обычным диффузионным механизмом фазовых переходов, то при достаточно высоких температурах (примерно  $T \geq (2/3)T_m$ , где  $T_m$  — соответствующая температура плавления) фазовые переходы протекают через образование зародышей новой фазы и их дальнейший рост [17], тогда как при низких температурах (условно  $T \leq (1/3)T_m$ ) диффузия атомов и молекул заморожена и превращение может происходить вдали от линии равновесия. В последнем случае фазовые превращения будут определяться, скорее, особенностями динамики решетки, нежели термодинамическими соотношениями. Это означает, что возможны неравновесные сценарии фазовых переходов, связанные со смягчением определенных фононных мод или упругих модулей [18, 19]. Промежуточный диапазон температур, оцениваемый как  $(1/3)T_m < T < (2/3)T_m$ , является переходной областью, соответствующей кроссоверу между термодинамическим и неравновесным (кинетическим) сценариями фазовых превращений. Для льда  $H_2O$  при давлениях до 2 ГПа интервал кроссовера между дву-

---

\*E-mail: alyapin@hppi.troitsk.ru

мя указанными режимами структурных превращений можно оценить как  $120 \text{ K} < T < 200 \text{ K}$ .

Согласно стандартной классификации фазовых переходов первого рода, существует диффузионный и мартенситный механизмы. При мартенситных переходах смещение атомов происходит когерентно по всей решетке (или в макроскопически протяженной области), а переход связан со смягчением определенных упругих модулей [17]. Естественно, что для мартенситных переходов разделение на термодинамический и неравновесный режимы фазовых превращений, как правило, не имеет смысла. Обычно мартенситные фазовые переходы сопровождаются малым скачком объема. В то же время многие фазовые переходы при низкотемпературном сжатии происходят со значительным изменением объема, что затрудняет реализацию когерентного перехода во всем кристалле, в результате чего происходит образования ламельной субструктуры [20]. Кроме льда, для целого ряда кристаллов наблюдается спонтанная твердофазная аморфизация (ТФА) при низкотемпературном сжатии (условие низких температур, естественно, индивидуально для каждого вещества) [21–25] (см. также ссылки в работах [18, 19, 23–25]), что, по-видимому, может быть рассмотрено как предельный случай неравновесных превращений, управляемых смягчением определенных фононных мод при отсутствии диффузии [18, 19, 21, 26–30].

В равновесной части фазовой диаграммы льда  $\text{H}_2\text{O}$  при сжатии фазы  $Ih$  в зависимости от температуры реализуются такие последовательности фазовых переходов, как  $Ih \rightarrow \text{III} \rightarrow \text{V} \rightarrow \text{VI}$ ,  $Ih \rightarrow \text{II} \rightarrow \text{V} \rightarrow \text{VI}$  и  $Ih \rightarrow \text{II} \rightarrow \text{VI}$ , достаточно хорошо изученные при помощи различных методик [7–9], в том числе и ультразвуковым методом [31–33]. При низкотемпературном сжатии льда ( $77$ – $120 \text{ K}$ ) происходит его твердофазная аморфизация (превращение  $Ih \rightarrow hda$ ) [12–16], структурные и термодинамические аспекты которой также достаточно хорошо изучены [12–16, 34–36]. Недавно были выполнены ультразвуковые исследования этого превращения, обнаружившие значительное смягчение модуля сдвига, предшествующее аморфизации [37, 38].

Промежуточная же область температур, при которой осуществляется смена механизма структурных превращений с равновесного на неравновесный, практически не изучалась. В температурной области кроссовера  $120 \text{ K} < T < 200 \text{ K}$  при сжатии льда  $Ih$  были обнаружены лед IX [16, 39] и лед XII [40, 41], по-видимому, не имеющие областей термодинамической стабильности. Немногочисленные попытки изу-

чения фазовых переходов в этом диапазоне температур касались структурных исследований и измерений удельного объема фаз при определенных давлениях и температурах [11, 14–16, 40, 41]. Поведение же упругих модулей, которое чрезвычайно важно для понимания механизма фазовых переходов, в этом диапазоне температур и давлений ранее не исследовалось.

Цель настоящей работы состояла в детальном исследовании перехода (кроссовера) от термодинамического к неравновесному сценарию превращений льда  $Ih$  при сжатии в области температур от  $77$  до  $200 \text{ K}$  путем измерений упругих свойств и плотности.

## 2. МЕТОДИКА ЭКСПЕРИМЕНТА

Упругие характеристики льда  $\text{H}_2\text{O}$  измерялись в области давлений  $0$ – $2.0 \text{ ГПа}$  и в температурном интервале  $77$ – $300 \text{ K}$  импульсным ультразвуковым методом [42]. Образцы льда были приготовлены из дистиллированной воды путем быстрого охлаждения с применением жидкого азота. Цилиндрические образцы льда высотой  $8$ – $10 \text{ mm}$  и диаметром  $16$ – $17 \text{ mm}$  в тонкостенных свинцовых оболочках ( $\sim 0.4 \text{ mm}$ ) помещались в камеру высокого давления типа цилиндр-поршень. Между образцом и поршнями помещались тонкие слои медной фольги толщиной  $0.02 \text{ mm}$ , предохраняющие поршни от разрушения из-за диффузии исследуемого вещества в материал камеры. Ультразвуковые измерения проводились с использованием кварцевых пьезодатчиков, генерирующих поперечные либо продольные колебания на резонансной частоте  $5 \text{ МГц}$ . В процессе экспериментов определялось изменение под действием давления и температуры времени пробега ультразвукового сигнала в образце  $t(p, T)$  и длины пути пробега  $\Delta l(p, T)$ . Типичная скорость изменения давления составляла  $0.02$ – $0.05 \text{ ГПа/мин}$ . Поправки на деформацию камеры с изменением давления и температуры определялись в отдельных экспериментах. Ошибка в измерении давления не превышала  $0.03 \text{ ГПа}$ . Температура в рабочем объеме измерялась с помощью четырех меди-константановых термопар, установленных в непосредственной близости от образца, причем градиент температур на образце не превышал  $1 \text{ K}$ . Измерения при  $77 \text{ K}$  проводились при полном погружении блока высокого давления в емкость, заполненную жидким азотом. Температура в этом случае поддерживалась постоянной в течение всего времени эксперимента. При более высоких тем-

пературах использовалась система охлаждения камеры высокого давления и стабилизации температуры, основанная на контроле скорости потока патрубков жидкого азота через проточки в верхней и нижней опорах блока высокого давления, а также через оболочку рабочей камеры. В этом случае точность определения температуры составляла 1–2 К. Более подробное описание экспериментальной аппаратуры и методики эксперимента представлено в [43]. Для расчета модуля сдвига  $G$  и модуля объемной упругости  $B$  использовалось приближение однородной изотропной среды, т. е. соотношения  $G = \rho V_t^2$  и  $B + (4/3)G = \rho V_l^2$ , где  $\rho$  — плотность, а  $V_t$  и  $V_l$  — скорости соответственно поперечных и продольных ультразвуковых волн.

### 3. НЕРАВНОВЕСНАЯ ФАЗОВАЯ ДИАГРАММА ЛЬДА $I_h$

Точки фазовых переходов и структурных превращений, определенные в наших экспериментах по скачкам плотности и ультразвуковых скоростей, показаны на фазовой диаграмме (рис. 1). Данная диаграмма может рассматриваться как неравновесная, так как, с одной стороны, на ней представлены линии фазовых переходов, наблюдаемых в конкретных кинетических условиях ( $dP/dt \sim 0.02\text{--}0.05$  ГПа/мин и т. д.) с определенным экспериментальным гистерезисом, а с другой стороны, структурные превращения типа твердофазной аморфизации льда  $I_h \rightarrow hda$  вообще не имеют отношения к термодинамической фазовой диаграмме. Представленная диаграмма является фактически главным экспериментальным результатом и будет детально обсуждаться по ходу изложения работы. Координаты точек фазовых переходов на рис. 1 в общих чертах соответствуют ранее опубликованным данным низкотемпературных структурных исследований под давлением [12, 14, 16]. В частности, линия аморфизаций льда  $I_h$  (рис. 1) неплохо совпадает с линией, определенной в работе Мишимы [16].

Преимущество наших исследований заключается в том, что измеряемые параметры контролировались практически непрерывно, позволяя точно определять давление  $P$  и температуру  $T$  фазовых превращений. В то же время отсутствие прямых структурных измерений, очевидно, затрудняло интерпретацию довольно сложной картины фазовых переходов. Тем не менее использование данных известных прямых структурных и рамановских исследований непосредственно под давлением [12, 14, 16, 39, 41] и

измерения плотности в наших экспериментах во всех рассматриваемых случаях позволили нам с высокой степенью достоверности интерпретировать наблюдаемые аномалии и идентифицировать большинство структурных превращений (особые случаи мы обсудим отдельно).

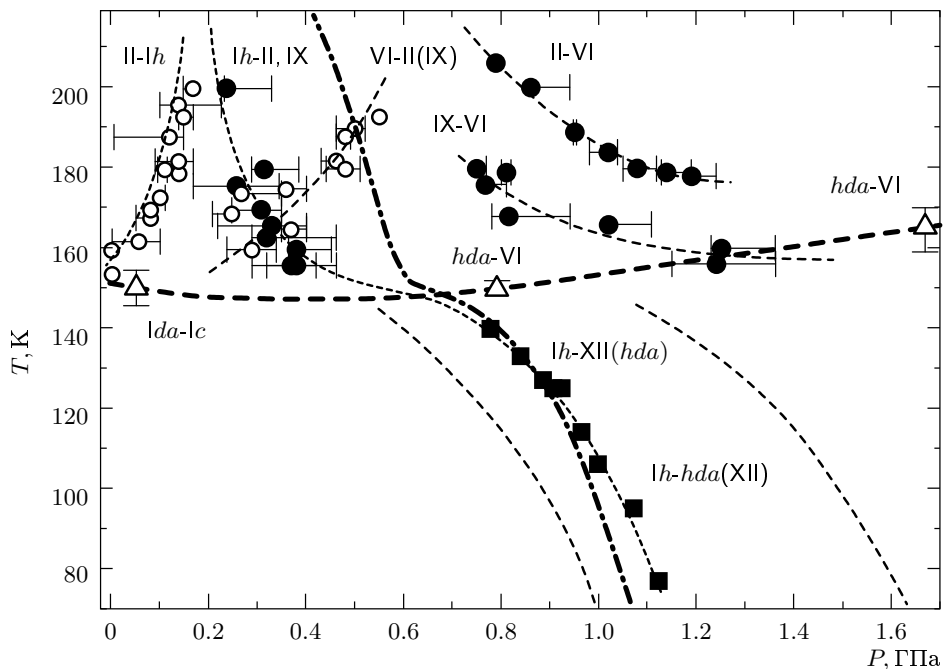
Кривая кристаллизации аморфных льдов  $lda$  и  $hda$  (см. рис. 1, а также работы [14, 16]) разделяет фазовую диаграмму льда на две части, соответствующие низкотемпературным неравновесным превращениям и высокотемпературным переходам между кристаллическими фазами. Ниже будут рассмотрены изменения упругих свойств льда при сжатии фазы  $I_h$  в двух указанных температурных областях.

#### 3.1. Фазовые переходы кристалл–кри сталл

Как уже отмечалось, высокотемпературная часть фазовой диаграммы  $H_2O$  ( $T = 150\text{--}300$  К) хорошо изучена различными методами [5–7]. Изменения же упругих свойств при фазовых переходах  $I_h \rightarrow III \rightarrow V \rightarrow VI$  и  $I_h \rightarrow II \rightarrow V \rightarrow VI$  были исследованы с использованием ультразвуковой методики и методом бриллюэновского рассеяния [31–33] только при температурах выше тройных точек  $T_{II-V-VI} \approx 213$  К,  $T_{II-III-V} \approx 249$  К и  $T_{I_h-II-III} \approx 238$  К [7–9].

В настоящей работе довольно точно установлены (рис. 1) значения давлений прямых и обратных фазовых переходов  $I_h-II$  и  $II-VI$  в интервале 175–200 К, т. е. ниже тройной точки  $T_{II-V-VI} \approx 213$  К. Полученные линии фазовых переходов хорошо согласуются с данными Мишимы [14]. Рентгеновскими исследованиями [16] и методом рамановского рассеяния [39] установлено, что в интервале 155–180 К наблюдается фазовый переход  $I_h \rightarrow IX$ , где лед IX является протонупорядоченным аналогом льда III [44–46] и может быть получен охлаждением льда III ниже 170 К [44]. Но точные положения фазового перехода  $I_h \rightarrow IX$  фиксировались на плоскости давление–температура либо эпизодически [39], либо только качественно [16, 41].

Наши измерения восполняют картину в данном температурном интервале (рис. 1). При температурах выше 175 К наблюдались две отчетливые аномалии в изменении плотности и упругих свойств, которые, очевидно, соответствовали последовательности фазовых переходов  $I_h \rightarrow II \rightarrow VI$ . С понижением температуры точки фазовых переходов смешались вправо (рис. 1 и 2) в соответствии с увеличени-



**Рис. 1.** Неравновесная фазовая диаграмма льда, на которой отмечены экспериментальные точки структурных превращений: • — переходы кристалл–кристалл при сжатии, ■ — твердофазная аморфизация  $Ih \rightarrow hda$  и ○ — переходы кристалл–кристалл при разгрузке давления из фазы VI. Штрихами обозначены линии интерполяции фазовых превращений, а также положение линий начала и завершения твердофазной аморфизации  $Ih \rightarrow hda$ . Жирные штрихи — линии кристаллизации аморфного льда ( $lda$  или  $hda$ ), △ — экспериментальные данные. Жирный штрихпунктир — интерполяция экспериментальных данных по превращению эмульсии льда  $Ih$  [16]

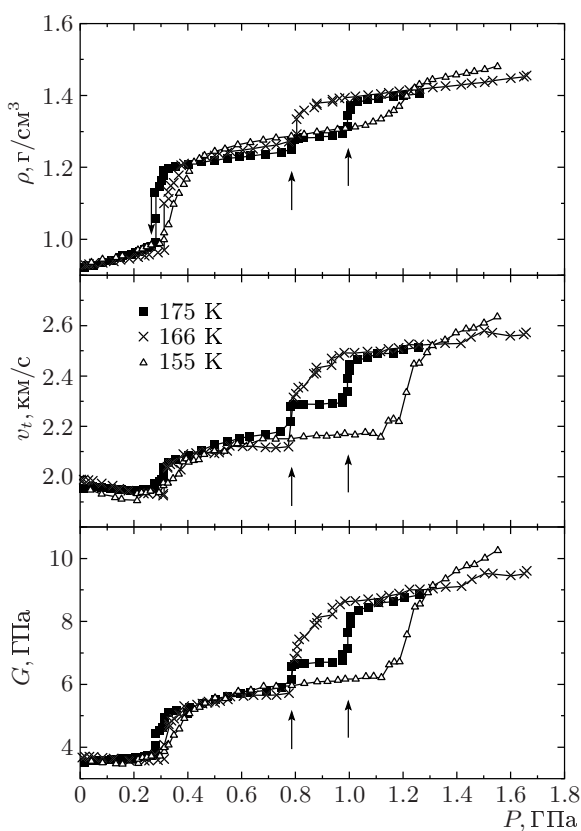
ем кинетического гистерезиса для переходов. Однако ниже 175 К картина резко изменилась: положение второй аномалии  $\rho$  и  $V_t$  скачком сдвинулось влево по давлению, а для промежуточных температур 166–175 К наблюдались зависимости с тремя аномалиями  $\rho$  и  $V_t$  (рис. 2 и 3). Естественно связать наблюданную картину с переходом от последовательности фазовых переходов  $Ih \rightarrow II \rightarrow VI$  к последовательности  $Ih \rightarrow IX \rightarrow VI$ . Учитывая, что плотности фаз льда II и IX очень близки, кривые с тремя аномалиями  $\rho$  и  $V_t$  при переходе в фазу VI, очевидно, должны соответствовать режиму смеси фаз II и IX. При этом амплитуды второй и третьей аномалий определяются долей фаз II и IX (рис. 3). Заметим, что в интервале температур, соответствующем переходной области между превращениями  $II \rightarrow VI$  и  $IX \rightarrow VI$  картина изменений  $\rho$  и  $V_t$  могла сильно различаться для одних и тех же температур (сравните кривые для  $T = 166$  К на рис. 2 и 3) в зависимости, по-видимому, от разнообразных факторов, таких как предыстория образца, кинетические характеристики и т. д.

Таким образом, из наших экспериментальных

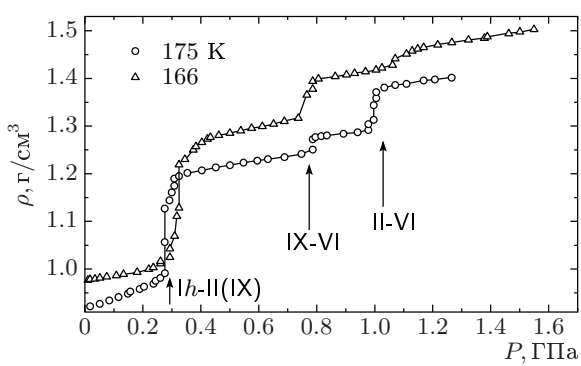
данных следует, что кинетическая линия фазового превращения  $Ih \rightarrow IX$  плавно переходит в линию перехода  $Ih \rightarrow II$ , что согласуется с ранее опубликованными данными [14, 16]. В то же время фазовый переход  $IX \rightarrow VI$  происходит при меньших давлениях, чем переход  $II \rightarrow VI$  (рис. 1), с учетом кинетики переходов (гистерезис).

### 3.2. Твердофазная аморфизация

Изменение упругих свойств льда в процессе твердофазной аморфизации при 77 К было детально исследовано нами ранее [37, 38]. На рис. 4 представлены экспериментальные зависимости для твердофазной аморфизации при трех температурах: 77, 125 и 130 К. Видно, что картина изменения плотности и упругих свойств качественно не меняется при разных температурах, только с ростом температуры наблюдается сдвиг давления аморфизации в меньшую сторону (рис. 1). Учитывая данные работы [37, 38], можно сформулировать следующие



**Рис. 2.** Характерные экспериментальные зависимости плотности, скорости поперечного ультразвука и модуля сдвига при сжатии льда  $Ih$  в интервале температур 150–200 К. Стрелками отмечены скачки, соответствующие переходам  $IX \rightarrow VI$  и  $II \rightarrow VI$  для кривой при  $T = 175$  К



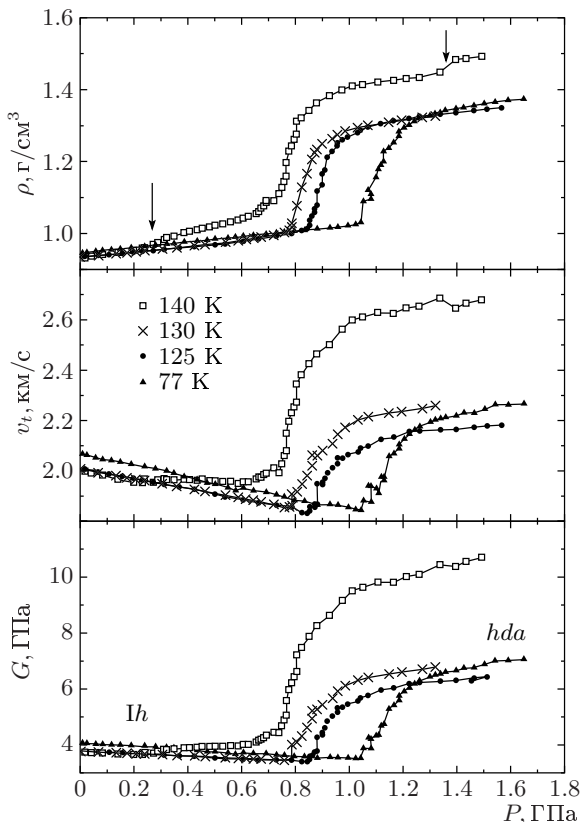
**Рис. 3.** Зависимости плотности льда  $Ih$  при сжатии для экспериментов, в которых наблюдалась смесь фаз льда  $II$  и  $IX$

особенности неравновесного сценария твердофазной аморфизаций (рис. 4): 1) с ростом давления возрастают плотность и объемный модуль исходного льда  $Ih$ , а скорость поперечных ультразвуковых волн и модуль сдвига уменьшаются (рис. 4); 2) превращение кристалла в аморфную фазу начинается как резкое и одновременное изменение плотности и упругих свойств, аналогично фазовым переходам первого рода; 3) твердофазная аморфизация сопровождается достаточно протяженным «хвостом» превращения (сравните рис. 2 и 4 и см. рис. 1); 4) перед аморфизацией в фазе  $Ih$  наблюдается рост коэффициента Пуассона до аномально высоких значений, равных примерно 0.4 [38]. Сдвиговое упругое смягчение решетки льда  $Ih$  крайне важно для понимания механизма твердофазной аморфизации и будет рассмотрено позднее (разд. 5).

### 3.3. Фазовые переходы вблизи линии кристаллизации

При  $T = 140$  К экспериментальные зависимости  $\rho$  и  $V_t$  от давления (рис. 4) оказались необычными. Две слабые особенности в поведении  $\rho(P)$  и  $V_t(P)$  при давлениях 0.3 и 1.4 ГПа, отмеченные на рис. 4 стрелками, очевидно, следует связать с переходами  $Ih \rightarrow IX$  и  $IX \rightarrow VI$ , в результате которых появляются соответственно примеси фаз  $IX$  и  $VI$ . На кривой  $\rho(P)$  эти особенности выражены более явно. Однако основное структурное превращение льда  $Ih$  происходит около 0.8 ГПа. По характеру изменения  $\rho$  и  $V_t$  и значению давления этого перехода (рис. 1 и 4) естественно было ассоциировать его с твердофазной аморфизацией  $Ih \rightarrow hda$ . Однако амплитуда скачка плотности и особенно скачка величины поперечной скорости звука при этом переходе значительно выше, чем при превращении  $Ih \rightarrow hda$  (рис. 4). Более того, конечная плотность льда при  $P = 1.6$  ГПа заметно больше не только плотности льда  $hda$ , но и фазы  $VI$ , и по координатам превращения это не может быть фазовый переход в лед  $VI$  или искаженную фазу  $VI'$ . Очевидно, что картина, наблюдаемая при 140 К, не может быть представлена как суперпозиция превращений  $Ih \rightarrow hda$ ,  $Ih \rightarrow IX \rightarrow VI$  (см. зависимости  $\rho$ ,  $V_t$  и  $G$  для  $T = 130$  и 150 К соответственно на рис. 4 и 2).

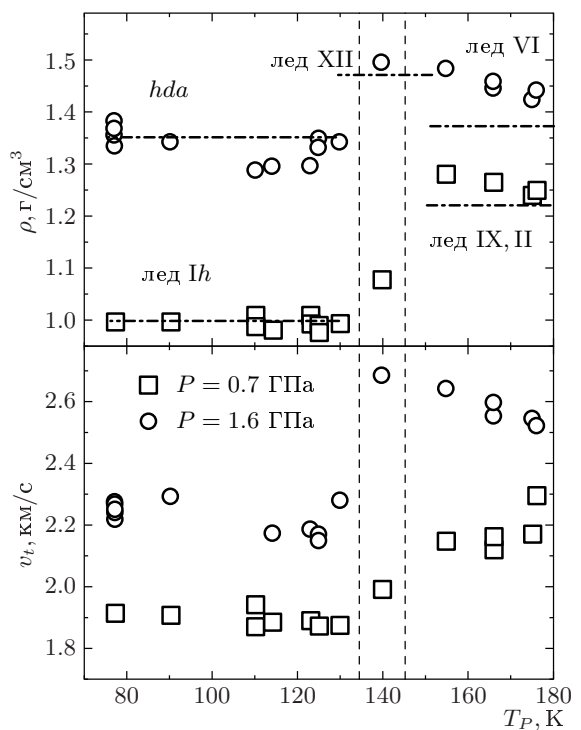
Наблюданная аномальная картина фазовых превращений при 140 К может быть хорошо объяснена, если предположить, что скачок  $\rho$  и  $V_t$  вблизи 0.8 ГПа соответствует фазовому переходу в лед XII, харак-



**Рис. 4.** Типичные экспериментальные зависимости плотности, скорости поперечного ультразвука и модуля сдвига при сжатии льда  $I_h$ , наблюдавшиеся в низкотемпературной части неравновесной фазовой диаграммы (77–140 К). Для  $T = 140$  К стрелками отмечены особенности зависимости плотности, отвечающие фазовым переходам  $I_h \rightarrow IX$  и  $IX \rightarrow VI$ , происходившим в соответствующих фазовых промежутках

теризующийся плотностью  $1.44 \text{ г}/\text{см}^3$  [10]. Недавно [40, 41] было обнаружено, что фазовый переход  $I_h \rightarrow XII$  конкурирует с твердофазной аморфизацией при превращениях льда  $I_h$  во всем низкотемпературном интервале, причем кинетические факторы, определяющие тип превращения  $I_h \rightarrow XII$  или  $I_h \rightarrow hda$ , не были выявлены [40]. Позже было показано, что фазовый переход  $I_h \rightarrow XII$  более вероятен при быстрых скоростях сжатия [41]. Как было установлено, верхний предел температуры образования льда  $XII$  соответствует  $T = 150$  К, что согласуется с нашими данными.

Эволюция последовательности превращений от  $I_h \rightarrow II(IX) \rightarrow VI$  к  $I_h \rightarrow hda$  представлена на рис. 5, где значения  $\rho$  и  $V_t$  взяты для различных образцов льда при фиксированных давлениях 0.7 и



**Рис. 5.** Значения плотности и скорости поперечных ультразвуковых волн, взятые при фиксированных давлениях 0.7 и 1.6 ГПа из экспериментов, проводившихся при разных температурах  $T_P$ . Горизонтальные штрихпунктирные соответствуют значениям плотности, интерполированным или экстраполированным к соответствующим давлениям: для фаз  $I_h$  и  $VI$  по формулам из [33], для льда  $IX$  по плотности фазы  $III$  из [33], для  $hda$  льда по данным [14] и для льда  $XII$  по данным [10]

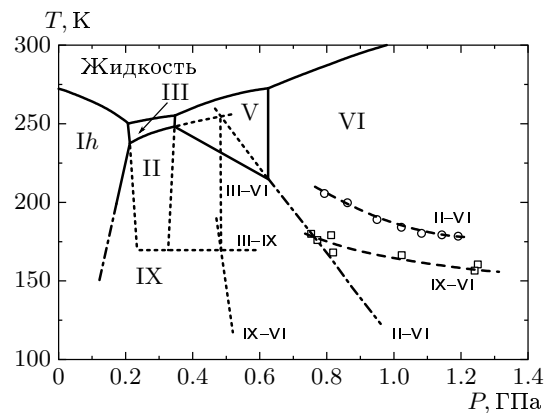
1.6 ГПа. Как видно на рис. 5, высокотемпературный и низкотемпературный режимы превращений отчетливо разделены. К сожалению, точность измерений и количество экспериментальных точек не позволяют установить точные температурные зависимости этих характеристик для образцов разных фаз. Однако достаточно надежно фиксируются значения и плотности, и скорости поперечного ультразвука для фаз, которые идентифицированы как лед  $VI$  и  $hda$ . Изменение  $\rho$  и  $V_t$  для льда  $hda$  можно объяснить двумя причинами. Во-первых, как уже обсуждалось, в низкотемпературной части фазовой диаграммы, соответствующей твердофазной аморфизации льда  $I_h$ , образуется смесь фаз  $hda$  и  $XII$  [40, 41], причем содержание фазы  $XII$  зависит от кинетических особенностей эксперимента. Во-вторых, свойства фазы  $hda$  могут систематически зависеть от температуры аморфизации, так как, в отличие от кристалличес-

ской решетки, аморфная сетка может не быть однозначно определенной структурой (в смысле особенностей ближнего порядка). Измеренные характеристики льда VI в температурном интервале 150–170 К (рис. 5) слишком высоки при сравнении с известными данными для льда VI [31–33, 47, 48]. При этом, если отклонение значений скорости поперечного ультразвука можно было бы связать с наличием текстуры в образцах льда VI, учитывая, что его структура имеет тетрагональную симметрию [49] и, следовательно, анизотропна, отклонение плотности в большую сторону связывать с текстурой нельзя. Естественно предположить присутствие при высоком давлении другой, более плотной фазы, прежде всего, льда XII. В этом случае лед XII можно рассматривать как индикатор неравновесного сценария превращений льда  $I_h$  (фазовый переход  $I_h \rightarrow XII$ ), хотя несомненно нужны прямые структурные исследования под давлением для однозначной идентификации фаз (или их смесей).

#### 4. ФАЗОВЫЕ ПЕРЕХОДЫ II-VI И IX-VI

Термодинамическая природа льда IX и характер фазового перехода  $IX \rightarrow VI$  важны для точной интерпретации кроссовера между термодинамическим и неравновесным сценариями превращений льда  $I_h$ . Лед IX является, по-видимому, метастабильной фазой [44], и поэтому фазовые переходы  $I_h \rightarrow IX \rightarrow VI$  можно рассматривать как неравновесные с точки зрения термодинамики. Тем не менее следует полагать, что механизм фазового перехода  $IX \rightarrow VI$  является диффузионным, во-первых, потому что при этом происходит существенная перестройка структуры льда и, в частности, кислородной подрешетки, а, во-вторых, картина резко нарастающего гистерезиса для перехода  $IX \rightarrow VI$  (рис. 1) типична для диффузионного механизма.

Проанализируем более детально термодинамические соотношения между фазами льда II, IX и VI. Очевидно, что для произвольных фаз A, B и C (с однозначно определенной структурой и термодинамическими потенциалами) можно ввести линии термодинамического равновесия и тройную точку, даже если они и не существуют на равновесной  $P-T$ -диаграмме, из соотношений  $G_A = G_B$  и т. д. и  $G_A = G_B = G_C$ , соответственно, где  $G_A$  — термодинамический потенциал фазы A и т. д. Рассматривая фазовую диаграмму льда, для простоты предположим, что изменения объема  $\Delta V$  и энтропии  $\Delta S$  постоянны на определенном участке вдоль ли-



**Рис. 6.** Фазовая диаграмма льда, на которой приводятся экспериментальные линии фазовых переходов  $II \rightarrow VI$  ( $\circ$ ) и  $IX \rightarrow VI$  ( $\square$ ), а также соответствующие линии термодинамического равновесия (см. текст). Сплошные линии соответствуют известным межфазным границам

ний фазовых равновесий, что незначительно искаивает реальную картину равновесной фазовой диаграммы льда. Из уравнения Клайперона–Клаузиуса  $dT/dP = \Delta V/\Delta S$  следует, что данное упрощение означает постоянный наклон фазовой границы на  $P-T$ -диаграмме.

Объемные скачки для фазовых превращений льда известны из работ [32–33]:  $\Delta V_{III \rightarrow II} = -0.35 \text{ см}^3/\text{моль}$ ,  $\Delta V_{II \rightarrow V} = -0.88 \text{ см}^3/\text{моль}$  и  $\Delta V_{II \rightarrow VI} = -1.85 \text{ см}^3/\text{моль}$ , причем эти данные находятся в хорошем согласии с другими измерениями [9, 31, 48]. Из фазовой диаграммы льда [7–9] следует, что  $S_{III} \approx S_V \approx S_{VI}$  или, более точно, что изменения энтропии для соответствующих фазовых переходов достаточно малы, поскольку наблюдаемые межфазные границы имеют наклоны, близкие к вертикальным (рис. 6). Из последнего соотношения, в частности, вытекает, что наклон фазовой границы II-VI отрицателен и более крут, чем наклон линии II-V примерно в 2.1 раза, поскольку  $\Delta V_{II \rightarrow VI}/\Delta V_{II \rightarrow V} = 2.1$ . Экстраполируя фазовые границы II-III и II-VI к более низким температурам, нетрудно установить координаты виртуальной (т. е. не существующей на равновесной фазовой диаграмме) тройной точки II-III-VI:  $P = 0.48 \pm 0.01 \text{ ГПа}$  и  $T = 255 \pm 3 \text{ К}$  (рис. 6). Так как  $S_{III} \approx S_V \approx S_{VI}$ , то наклон линии равновесия льда III и VI почти вертикален. Температура фазового перехода III  $\rightarrow$  IX составляет 170 К [44], причем скачок объема при этом не превышает 0.1%. Следовательно, можно заключить, что линия

равновесия III-IX является почти горизонтальной линией в окрестности  $T = 170$  К (рис. 6). Это позволяет аппроксимировать координаты виртуальной тройной точки III-IX-VI как 0.5 ГПа и 173 К. Наклон виртуальной фазовой границы IX-VI можно вычислить непосредственно. Исходя из оценок  $\Delta V_{\text{IX} \rightarrow \text{VI}} = \Delta V_{\text{II} \rightarrow \text{VI}} = \Delta V_{\text{III} \rightarrow \text{II}} + \Delta V_{\text{II} \rightarrow \text{VI}} = = 2.2 \text{ см}^3/\text{моль}$  и  $\Delta S_{\text{IX} \rightarrow \text{VI}} = \Delta S_{\text{IX} \rightarrow \text{III}} = = 1.35 \text{ Дж/К}\cdot\text{моль}$  [50], получим  $(dT/dP)_{\text{IX} \rightarrow \text{VI}} = = 1600 \text{ К/ГПа}$ . В результате можно восстановить линию фазового равновесия IX-VI, как это показано на рис. 6.

Таким образом, в рассматриваемом температурном интервале 150–180 К фазовая граница IX-VI сдвинута на 0.3–0.4 ГПа в сторону меньших давлений относительно линии II-VI. Примерно на такую же величину по шкале давлений сдвинута и полученная нами экспериментальная линия фазового перехода IX  $\rightarrow$  VI относительно соответствующей линии перехода II  $\rightarrow$  VI, где необходимо учитывать кинетический гистерезис для обоих фазовых переходов. Естественно предположить, что взаимное положение точек фазовых переходов IX  $\rightarrow$  VI и II  $\rightarrow$  VI обусловлено термодинамическими соотношениями. В то же время из приведенного анализа вытекают дополнительные аргументы в пользу того, что лед IX является метастабильной фазой. Действительно, если бы лед IX имел область стабильности на фазовой диаграмме, то она должна была бы располагаться между областями либо фаз Ih и II, либо фаз II и VI. Однако обе эти ситуации можно исключить, учитывая наши построения (рис. 6) и, в частности, положение тройной точки II-IX-VI, которое можно получить пересечением линий равновесия IX-VI и II-VI. В любом из указанных выше случаев образование льда IX наблюдалось бы при относительно высоких температурах ( $T > 200$  К).

Обнаруженное ранее подобие между структурами льдов IX и VI, по крайней мере относительно положений атомов кислорода [51], может быть дополнительным кинетическим фактором, влияющим на положение фазового перехода IX  $\rightarrow$  VI. Суммируя, можно предположить, что последовательность фазовых переходов Ih  $\rightarrow$  IX  $\rightarrow$  VI обусловлена термодинамическими движущими силами и связана, по-видимому, с диффузионным механизмом переходов. Тем не менее эта последовательность соответствует неравновесным фазовым переходам, так как лед IX метастабилен и, следовательно, определяется в том числе и кинетическими причинами, а точнее, соотношением энергетических барьеров для фазовых переходов между различными фазами.

## 5. МЕХАНИЗМ ТВЕРДОФАЗНОЙ АМОРФИЗАЦИИ

Ультразвуковые исследования дают прямую информацию об акустической части фононного спектра в твердом теле, что весьма важно для прояснения механизма твердофазной аморфизации льда Ih под давлением. Характерные черты твердофазной аморфизации льда были выделены в предыдущем разделе. Важно отметить, что превращение Ih  $\rightarrow$  hda аналогично фазовым переходам первого рода, хотя процесс твердофазной аморфизации, в отличие от фазовых переходов между кристаллическими модификациями льда, имеет протяженный, примерно до 1.7 ГПа, «хвост» (рис. 1), соответствующий постепенному релаксационному уплотнению. Величина скачка плотности для перехода Ih  $\rightarrow$  hda около 20.0%, измеренная в данной работе, совпадает с результатами предыдущих работ [12–14, 34, 35].

Ключевое значение для понимания механизма твердофазной аморфизации льда имеет обнаруженное уменьшение скорости поперечных ультразвуковых волн  $V_t(P)$  и, соответственно, модуля сдвига  $G(P)$  вплоть до начала перехода Ih  $\rightarrow$  hda. Сдвиговое смягчение льда Ih перед аморфизацией сопровождается увеличением плотности ( $\sim 10\%$ ). Высокое значение коэффициента Пуассона [38] в момент аморфизации, т. е. низкое значение отношения  $G/B$ , также указывает на сдвиговое смягчение решетки льда под давлением. Таким образом, концепция неустойчивости решетки льда как спускового механизма твердофазной аморфизации получает прямые доказательства из ультразвуковых измерений упругих свойств.

На рис. 7 представлена зависимость барической производной  $G'_P$  от температуры (рис. 7). Несмотря на значительный разброс экспериментальных точек, связанный с большими погрешностями при численном дифференцировании, очевидно, что величина  $G'_P$  слабо зависит от температуры. Следовательно, смягчение решетки при сжатии льда Ih в первую очередь обусловлено особенностями геометрии его решетки и взаимодействия атомов в решетке, тогда как тепловые колебания атомов в этом случае не столь важны. При этом, если при низких температурах механизм структурного превращения связан с динамическими причинами, то с ростом температуры активизируется диффузия атомов и начинают доминировать термодинамические сценарии уплотнения льда.

Более детальная информация о компонентах тензора упругих постоянных и фононном спектре кри-

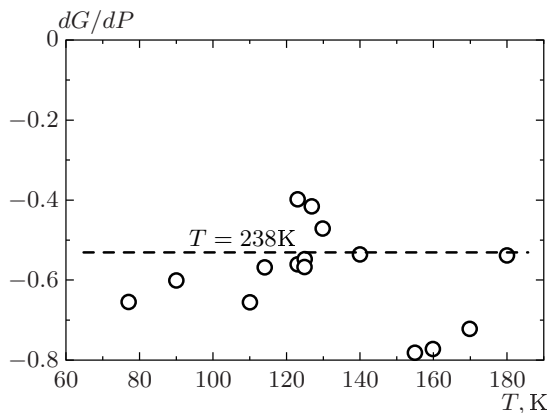


Рис. 7. Экспериментальные значения производной модуля сдвига  $(dG/dP)_T$ . Горизонтальная линия соответствует значению  $(dG/dP)_T$  из работы [55] для  $T = 238$  К

сталлического льда  $Ih$  под давлением представляет особый интерес для понимания механизма твердофазной аморфизации. Данных о зависимости  $G(P)$  в этом случае недостаточно, так как модуль сдвига для поликристалла является усредненной по различным ориентациям кристаллитов характеристикой. Однако, учитывая, что барическая производная  $G'_P$  слабо зависит от температуры (рис. 7), можно предположить, что и барические производные компонент тензора упругих констант также не сильно меняются с температурой, и, следовательно, анализ низкочастотной устойчивости решетки льда  $Ih$  можно провести, используя данные работ [32, 33], полученные под давлением для температуры 238 К. Решетка будет механически устойчива, если положительно определен тензор упругих констант сжатой решетки [19, 52–54]. Для гексагонального льда  $Ih$  (пространственная группа  $P6_3/mmc$ ) это означает три условия устойчивости относительно сдвиговой деформации:

$$\mu_1 = (1/2)(c_{11} - c_{12}) > 0, \quad (1)$$

$$\mu_2 = c_{44} > 0, \quad (2)$$

$$\mu_3 = (1/2) \left( c_{11} + c_{12} + c_{33} - \sqrt{(c_{11} + c_{12} - c_{33})^2 + 8c_{13}^2} \right) > 0, \quad (3)$$

где  $c_{11}$ ,  $c_{12}$ ,  $c_{13}$ ,  $c_{33}$  и  $c_{44}$  — пять основных констант, описывающих тензор констант упругости гексагональной решетки льда  $Ih$  (в этом случае

$c_{66} = (1/2)(c_{11} - c_{12})$ ). При этом еще одно условие, что объемный модуль упругости положителен, предполагается выполненным. Из интерполяции данных [32, 33, 55] нетрудно получить следующие логарифмические производные по давлению для сдвиговых упругих констант при  $P = 0$ :  $\mu'_1/\mu_1 = -0.057$  ГПа $^{-1}$ ,  $\mu'_2/\mu_2 = -0.183$  ГПа $^{-1}$  и  $\mu'_3/\mu_3 = -0.216$  ГПа $^{-1}$ , т. е. величины  $\mu_2$  и  $\mu_3$  уменьшаются более интенсивно. Однако вторые производные  $\mu_2$  и  $\mu_3$  по давлению положительны, и эти упругие модули слабо меняются с давлением примерно до 1 ГПа, тогда как  $\mu'_1 < 0$ , и уменьшение  $\mu_1$  быстро нарастает с давлением. Экстраполированная величина  $\mu_1$  стремится к нулю при 1.5 ГПа. При давлении около 1.1 ГПа, соответствующем аморфизации льда, экстраполированное уменьшение модуля  $\mu_1$  составляет  $\sim 60\%$  относительно начальной величины. Для различных методик твердофазной аморфизации смягчение постоянных упругости на 30–60% является типичным [56]. Уменьшение значений модулей в нашем случае  $\mu_2$  и  $\mu_3$  с давлением не так значительно, а скорость уменьшения поликристаллического модуля сдвига с давлением является промежуточной между соответствующими величинами для  $\mu_1$ ,  $\mu_2$  и  $\mu_3$ .

Компьютерные расчеты [27, 57] подтверждают предполагаемый сценарий смягчения констант упругости льда  $Ih$ . В частности, методом молекулярной динамики было показано, что индуцируемый давлением коллапс решетки льда  $Ih$  начинается с резкого убывания модуля  $\mu_1$ . Смягчение констант упругости соответствует неустойчивости решетки по отношению к акустическим фононным модам в окрестности центра зоны Бриллюэна. В то же время для веществ с алмазоподобной структурой известно, например, что неустойчивость решетки при сжатии наступает раньше на границе зоны Бриллюэна, при этом необходимо подчеркнуть, что по отношению к атомам кислорода лед  $Ih$  имеет аналогичный алмазоподобным полупроводникам близкий порядок с тетраэдрической упаковкой атомов. Естественно, что полноценный расчет фононного спектра льда  $Ih$  при сжатии представляет наибольший интерес для понимания динамического механизма твердофазной аморфизации. Однако причины неустойчивости льда  $Ih$  под давлением можно понять из простых соображений, аналогичных тем, которые следуют из анализа устойчивости алмазоподобных решеток [19]. Неустойчивость решетки льда обусловлена его рыхлой тетраэдрической структурой. Сдвиговая упругая неустойчивость связана с отрицательным вкладом давления в сдвиговые модули упругости [18, 19],

который быстро увеличивается из-за центрального отталкивания между соседними атомами кислорода.

Заметим, что наличие неустойчивой моды в колебательном спектре кристаллической решетки не является достаточным условием твердофазной аморфизации, так как неустойчивая мода может соответствовать переходу решетки в новое кристаллическое состояние. Очевидно, что факторы, нарушающие когерентное движение атомов, например взаимодействие двух мягких мод (см. примеры смягчения двух и более фононных мод в [19] и [30]), могут способствовать разупорядочению нестабильной решетки. Для льда  $I_h$  можно упомянуть следующие особенности, которые могут способствовать твердофазной аморфизации: 1) высокая степень разупорядочения в расположении протонов [58] или ориентационный беспорядок молекул  $H_2O$  [59]; 2) существование двух типов водородных связей [60]; 3) возможный вклад либрационных фононных мод [61] в процесс динамического разупорядочения решетки льда.

## 6. ПЕРЕХОД ОТ ТЕРМОДИНАМИЧЕСКОГО К НЕРАВНОВЕСНЫМ СЦЕНАРИЯМ ПРЕВРАЩЕНИЙ ПРИ СЖАТИИ ЛЬДА $I_h$

Итак, можно выделить две главные и связанные между собой характерные особенности кинетики структурных превращений льда  $I_h$  при понижении температуры: во-первых, переход от термодинамического к неравновесному сценарию структурных превращений, что является главным предметом данной работы, и, во-вторых, смена диффузионного механизма фазовых переходов механизмами, обусловленными динамикой смягчающейся решетки с кооперативным в той или иной степени движением атомов в момент структурной перестройки.

Естественно предположить, что кроссовер между режимами превращений льда  $I_h$  кристалл–кристалл (фазовый переход  $\text{II} \rightarrow \text{IX}$ ) и кристалл–аморфная фаза соответствует замораживанию диффузии в кислородной подсетке. В пользу этого свидетельствует наличие границы между двумя режимами, находящейся в области кристаллизации аморфного льда  $hda$  при температурах 140–150 К (рис. 1). В этой же области температур наблюдался кроссовер между двухфазным плавлением эмульсии льда, в которой удалось предотвратить зародышеобразование кристаллических фаз, и твердофазной аморфизацией как однофазным процессом, определяемым неустойчивостью решетки  $I_h$  [16] (см. также рис. 1). Общий

вид линии превращений льда  $I_h$  (рис. 1) можно описать как пересечение линии гистерезиса фазового перехода  $I_h \rightarrow \text{IX(II)}$  и линии неустойчивости в хорошем соответствии с модельным анализом из работы [18]. Естественно, что это пересечение слажено переходными процессами, имеющими, по-видимому, термоактивационную природу.

К сожалению, неясным остается механизм фазового перехода  $I_h \rightarrow \text{XII}$ . Точно также требует подтверждения и интерпретация структурного превращения при 140 К как фазового перехода  $I_h \rightarrow \text{XII}$ . Известно [41], что этот фазовый переход наблюдается ниже 150 К как процесс, конкурирующий с твердофазной аморфизацией. Можно предполагать, что механизм фазового перехода  $I_h \rightarrow \text{XII}$ , также связанный с неустойчивостью решетки, имеет, по-видимому, природу, аналогичную мартенситным фазовым переходам, а выбор между двумя каналами превращений обусловлен экспериментальными кинетическими причинами.

Выше температуры кристаллизации аморфных фаз льда активизируется диффузия атомов в кислородной подсетке, и, как уже отмечалось, термодинамические соотношения между фазами существенно влияют на взаимное положение точек фазовых переходов, как в случае переходов  $\text{IX} \rightarrow \text{VI}$ , так и  $\text{II} \rightarrow \text{VI}$ . Однако неравновесные сценарии возможны и здесь, если температура невысока. В рассматриваемой области давлений термодинамические движущие силы, пропорциональные фактору  $\exp(\Delta G/kT)$ , где  $\Delta G$  – разность свободных энергий Гиббса между фазами, для фазовых переходов между фазами  $\text{II}$  и  $\text{III}$  льда или между фазами  $\text{II}$  и  $\text{IX}$  достаточно малы, так как все эти фазы очень близки по плотности и по энергии [31–31, 44–46]. В то же время кинетические барьеры для фазовых переходов  $\text{II-III}$  или  $\text{II-IX}$ , очевидно, не малы, так как эти переходы связаны с существенной перестройкой кислородной подрешетки. Напротив, для фазового перехода  $\text{III-IX}$  барьеры невысоки, так как фазы  $\text{III}$  и  $\text{IX}$  имеют одинаковую структуру кислородных подрешеток и, соответственно, неупорядоченное и упорядоченное расположение протонов. Лед  $\text{IX}$ , действительно, был впервые получен при охлаждении льда  $\text{III}$  [44–46]. Если полагать, что последовательность фазовых переходов  $I_h \rightarrow \text{IX} \rightarrow \text{VI}$  при сжатии идет по неравновесному сценарию (т. е. лед  $\text{IX}$  – метастабильная фаза), а механизм этих фазовых переходов является диффузионным, то причины, по которым предпочтительнее становится неравновесный сценарий, связаны с ограничениями в диффузионном движении атомов, возникающими при понижении

нии температуры. В конфигурационном пространстве эти ограничения как раз и соответствуют более высоким барьерам, в том числе и для путей к термодинамически стабильной фазе.

Таким образом, общая тенденция перехода к неравновесным сценариям превращений с понижением температуры связана с постепенным замораживанием движения атомов и диффузии, а включение динамических механизмов превращений связано со смягчением решетки и понижением соответствующих энергетических барьеров в конфигурационном пространстве. Заметим, что сложная картина кроссовера между термодинамическим и неравновесными сценариями структурных превращений льда не является уникальной. Ранее подобный кроссовер наблюдался при разгрузке фаз высокого давления кремния и германия, где также происходил переход от режима превращений кристалл–кристалл для фаз с областью стабильности на фазовой диаграмме к режимам типа кристалл–метастабильная кристаллическая фаза, а затем к режиму кристалл–аморфная фаза. Дальнейший прогресс в понимании неравновесного полиморфизма льда следует связывать с детальным кристаллографическим и динамическим анализом фазовых переходов между кристаллическими модификациями и компьютерным моделированием различных стадий процесса твердофазной аморфизации.

В заключение авторы выражают благодарность С. В. Поповой за плодотворные дискуссии. Работа выполнена при финансовой поддержке РФФИ (гранты 01-02-16557, 00-15-96593 и 00-15-99308).

## ЛИТЕРАТУРА

1. J. P. Poirier, Nature **299**, 683 (1982).
2. A. G. G. M. Tielens and L. J. Allamandola, in *Physical Processes in Interstellar Clouds*, ed. G. E. Morfill and M. Scholer, Dordrecht, Reidel (1987), p. 333.
3. M. J. Mumma, P. R. Weissman, and S. A. Stern, in *Protostars and Planets III*, ed. by E. H. Levy, J. I. Lunine, and M. S. Matthews, Tucson, Univ. Arizona Press (1993) p. 1177.
4. P. Jenniskens and D. F. Blake, Science **265**, 753 (1994).
5. P. Jenniskens, D. F. Blake, M. A. Wilson, and A. Pohorille, The Astrophys. J. **455**, 389 (1995).
6. P. Mehl and P. Boutron, J. de Phys. Colloq. **48**, C1-449 (1987).
7. P. W. Bridgman, Proc. Am. Acad. Arts Sci. **47**, 441 (1911).
8. P. V. Hobbs, *Ice Physics*, Oxford University, London (1974).
9. Е. Ю. Тонков, *Фазовые превращения соединений при высоком давлении*, Справочник, т. 2, Металлургия, Москва (1988), с. 29.
10. C. Lobban, J. L. Finney, and F. Kuhs, Nature **391**, 268 (1998).
11. O. Mishima and H. E. Stanley, Nature **392**, 164 (1998).
12. O. Mishima, L. D. Calvert, and E. Whalley, Nature **310**, 393 (1984).
13. O. Mishima, L. D. Calvert, and E. Whalley, Nature **314**, 76 (1985).
14. O. Mishima, J. Chem. Phys. **100**, 5910 (1994).
15. R. J. Hemley, L. C. Chen, and H. K. Mao, Nature **338**, 638 (1989).
16. O. Mishima, Nature **384**, 546 (1996).
17. J. W. Christian, *The Theory of Transformations in Metals and Alloys*, Part 1, Second ed., Pergamon, Oxford (1975).
18. V. V. Brazhkin and A. G. Lyapin, High Press. Res. **15**, 9 (1996).
19. A. G. Lyapin and V. V. Brazhkin, Phys. Rev. B **54**, 12036 (1996).
20. V. V. Brazhkin, Ye. V. Tat'yanin, A. G. Lyapin, S. V. Popova, O. B. Tsiok, and D. V. Balitskii, Письма в ЖЭТФ **71**, 424 (2000).
21. R. J. Hemley, A. P. Jephcoat, H. K. Mao, L. C. Ming, and M. H. Manghnani, Nature **334**, 52 (1988).
22. Y. Fujii, M. Kowaka, and A. Onodera, J. Phys. C **18**, 789 (1985).
23. E. G. Ponyatovsky and O. I. Barcalov, Mat. Sci. Rep. **8**, 147 (1992).
24. L. E. Mc Neil and M. Crimdsitch, Phys. Rev. Lett. **68**, 83 (1992).
25. K. J. Kingma, C. Meade, R. J. Hemley, H. K. Mao, and D. R. Veblen, Science **259**, 666 (1993).
26. J. S. Tse and D. D. Klug, Phys. Rev. Lett. **67**, 3559 (1991).

- 27.** J. S. Tse, *J. Chem. Phys.* **96**, 5482 (1992).
- 28.** N. Binggeli and J. R. Chelikowsky, *Phys. Rev. Lett.* **69**, 2220 (1992).
- 29.** N. Binggeli, N. R. Keskar, and J. R. Chelikowsky, *Phys. Rev. B* **49**, 3075 (1994).
- 30.** M. Hemmati, A. Chizmeshya, G. H. Wolf, P. H. Poole, J. Shao, and C. A. Angell, *Phys. Rev. B* **51**, 14841 (1995).
- 31.** G. H. Shaw, *J. Chem. Phys.* **84**, 5862 (1986).
- 32.** R. E. Gagnon, H. Kieft, M. J. Clouter, and E. Whalley, *J. de Phys. Colloq.* **48**, C1-29 (1987).
- 33.** R. E. Gagnon, H. Kieft, M. J. Clouter, and E. Whalley, *J. Chem. Phys.* **92**, 1909 (1990).
- 34.** M. A. Floriano, Y. P. Handa, D. D. Klug, and E. Whalley, *J. Chem. Phys.* **91**, 7187 (1989).
- 35.** A. Bizid, L. Bosio, A. Defrain, and M. Oumezzine, *J. Chem. Phys.* **87**, 2225 (1987).
- 36.** E. Whalley, D. D. Klug, M. A. Floriano, E. C. Svensson, and V. F. Sears, *J. Physiq.* **48**, C1-429 (1987).
- 37.** О. В. Стальгорова, Е. Л. Громницкая, В. В. Бражкин, *Письма в ЖЭТФ* **62**, 334 (1997).
- 38.** Е. Л. Громницкая, О. В. Стальгорова, В. В. Бражкин, *ЖЭТФ* **112**, 200 (1997).
- 39.** A. G. Garg, *Phys. Stat. Sol. (a)* **110**, 467 (1988).
- 40.** M. Koza, H. Schober, A. Tölle, F. Fujara, and T. Hansen, *Nature* **397**, 660 (1999).
- 41.** M. Koza, H. Schober, T. Hansen, A. Tölle, and F. Fujara, *Phys. Rev. Lett.* **84**, 4112 (2000).
- 42.** E. P. Papadakis, *Rev. Sci. Instrum.* **47**, 805 (1976).
- 43.** О. В. Стальгорова, Е. Л. Громницкая, Д. Р. Дмитриев, Ф. Ф. Воронов, *ПТЭ* **39**, 115 (1996).
- 44.** E. Whalley, J. B. R. Heath, and D. W. Davidson, *J. Chem. Phys.* **48**, 2362 (1968).
- 45.** S. J. La Placa, W. C. Hamilton, B. Kamb, and A. Prakash, *J. Chem. Phys.* **58**, 567 (1973).
- 46.** J. D. Londo, W. F. Kuhs, and J. L. Finney, *J. Chem. Phys.* **98**, 4878 (1993).
- 47.** C. A. Tulk, R. E. Gagnon, H. Kieft, and M. J. Clouter, *J. Chem. Phys.* **104**, 7854 (1996).
- 48.** C. A. Tulk, R. E. Gagnon, H. Kieft, and M. J. Clouter, *J. Chem. Phys.* **107**, 10684 (1997).
- 49.** B. Kamb, *Science* **150**, 205 (1965).
- 50.** K. Nishibata and E. Whalley, *J. Chem. Phys.* **60**, 3189 (1974).
- 51.** B. Minčeva-Šukarova, G. E. Slark, W. F. Sherman, and G. R. Wilkinson, *J. de Phys. Colloq.* **48**, C1-37 (1987).
- 52.** D. C. Wallace, *Thermodynamics of Crystals*, Wiley, New York (1972).
- 53.** J. Wang, S. Yip, S. R. Phillpot, and D. Wolf, *Phys. Rev. Lett.* **71**, 4182 (1993).
- 54.** J. Wang, J. Li, S. Yip, S. R. Phillpot, and D. Wolf, *Phys. Rev. B* **52**, 12627 (1995).
- 55.** R. E. Gagnon, H. Kieft, M. J. Clouter, and E. Whalley, *J. Chem. Phys.* **89**, 4522 (1988).
- 56.** J. Koike, *Phys. Rev. B* **47**, 7700 (1993).
- 57.** J. S. Tse, D. D. Klug, C. A. Tulk, I. Swainson, E. C. Svensson, C.-K. Loong, V. Shpakov, V. R. Belosludov, R. V. Belosludov, and Y. Kawazoe, *Nature* **400**, 647 (1999).
- 58.** S. W. Peterson and H. A. Levy, *Acta Cryst.* **10**, 70 (1957).
- 59.** W. P. Kuhs and M. S. Lehman, in *Water Science Reviews*, Vol. 2, ed. by F. Franks, Cambridge, Cambridge University Press.
- 60.** J. Li and D. K. Ross, *Nature* **365**, 327 (1993).
- 61.** J. S. Tse, M. L. Klein, and I. R. McDonald, *J. Chem. Phys.* **81**, 6124 (1984).